

Оглавление

Введение	5
Глава 1 Вращение жидкости	7
1 Задача (7) Модель (9) Упражнения и замечания (18)	
Глава 2 Водяные часы	21
2 Задача (21) Модель (22) Упражнения и замечания (29)	
Глава 3 Элементарные химические реакции	33
3 Закон действующих масс (33) Задача (35) Модель (35) Упражнения и замечания (38)	
Глава 4 Задача о четырех жуках	41
4 Кривые погони (41) Задача (41) Модель (43) Упражнения и замечания (47)	
Глава 5 Барометрическая формула	51
5 Задача (51) Модель (53) Упражнения и замечания (58)	
Глава 6 Модели роста	61
6 Модель естественного роста (61) Модель Ферхюльста (62) Модель (62) Упражнения и замечания (68)	
Глава 7 Табулирование функций	73
7 Метод Эйлера (73) Задача (74) Модель (75) Упражнения и замечания (81)	
Глава 8 Ортогональные траектории	85
8 Ортогональные семейства кривых (85) Задача (85) Модель (87) Упражнения и замечания (90)	
Глава 9 Математическая вышивка	95
9 Задача (95) Уравнение Клеро (96) Модель (97) Упражнения и замечания (101)	
Глава 10 Криволинейные зеркала	105
10 Задача (105) Модель (106) Упражнения и замечания (112)	

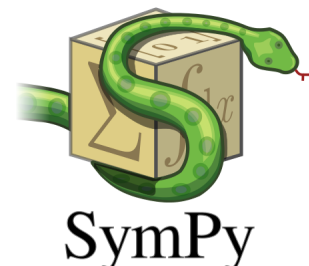
Глава	Из пушки на луну	115
11	Задача (115) Модель (116) Упражнения и замечания (120)	
Глава	Метроном	123
12	Задача (123) Модель (124) Упражнения и замечания (130)	
Глава	Пружинный маятник	133
13	Задача (133) Модель (134) Упражнения и замечания (140)	
Глава	Модель Лотки–Вольтерры	143
14	Задача (143) Модель (144) Упражнения и замечания (149)	
Глава	Системы реакций первого порядка	153
15	Задача (153) Преобразование Лапласа (154) Модель (156) Упражнения и замечания (160)	
Глава	Геодезические линии	163
16	Задача (163) Уравнение Эйлера–Лагранжса (165) Модель (166) Упражнения и замечания (171)	

Введение

Настоящая книга посвящена вопросам практического применения символьных вычислений для решения различных прикладных задач, приводящих к дифференциальным уравнениям и их системам. Как известно, решение дифференциальных уравнений — с одной стороны, процесс многогранный и местами даже творческий, с другой — связан с выполнением больших объемов и чисто рутинной работы: арифметика, алгебраические преобразования, вычисления производных и интегралов и т. д. Такая деятельность является по большому счету чисто механической, поэтому она относительно легко и эффективно алгоритмизуется и может быть реализована программно на любом современном языке программирования.

Программные системы, позволяющие пользователю работать с математическими формулами, выполняя над ними те или иные символьные преобразования, называются системами *символьных вычислений*, или системами *компьютерной алгебры*. Первые такие системы появились еще в 60-х годах прошлого века. В настоящее время пользователям доступны десятки подобного рода систем — от коммерческих ([Maple](#), [Mathematica](#)) до систем с открытым исходным кодом ([Reduce](#), [Maxima](#)), некоторые из которых способны работать уже и на мобильных устройствах.

Система [SymPy](#), которой и посвящена данная книга, является по сути обычной *библиотекой* языка [Python](#). Такой подход к построению систем символьных вычислений имеет ряд преимуществ. Во-первых, система оказывается открытой и доступной всем без исключения пользователям. Во-вторых, работа с библиотекой [SymPy](#) в среде [Jupyter Notebook](#) позволяет проводить символьные вычисления прямо в браузере либо локально, либо удаленно с помощью какого-нибудь об-



SymPy

РИС. 1 SymPy — библиотека Python для символьных вычислений

¹ При таком сценарии пользователю вообще не нужно устанавливать локально никакое программное обеспечение.

² Заметим, что автором не ставилась цель дать полное описание библиотеки **SymPy**. Такая задача, с одной стороны, является просто неподъемной, библиотека **SymPy** состоит из большого числа модулей, только часть из которых посвящена решению дифференциальных уравнений. Кроме того, данная библиотека все еще активно развивается, ее функционал постоянно расширяется и модифицируется. Более полную и актуальную информацию по работе с библиотекой **SymPy** читателю рекомендуется находить либо на официальном сайте библиотеки <https://www.sympy.org>, либо на профильных ресурсах в сети Интернет, например на сайте <https://stackoverflow.com>.

лачного сервиса¹, например **Google Colab**. В-третьих, символьные вычисления в рамках данной библиотеки оказываются интегрированными в обычную программу на языке **Python**, при этом пользователю системы оказывается доступным весь функционал языка **Python**, а также вся его инфраструктура в виде бесчисленного набора разнообразнейших пакетов и библиотек.

Предлагаемая читателю книга устроена достаточно просто. Каждая ее глава посвящена рассмотрению одной прикладной модели из физики, химии, биологии и т. д. После теоретического рассмотрения модели и вывода соответствующего ей дифференциального уравнения максимально детально описывается процесс формализации модели и решения возникающих в ней дифференциальных уравнений с помощью библиотеки **SymPy**². Каждая глава сопровождается набором упражнений как технического характера — посчитать интеграл, решить уравнение, построить график, так и исследовательского — построить и исследовать по описанной схеме аналогичную модель.

Автор с благодарностью примет все конструктивные отзывы, комментарии и замечания относительно структуры и содержания настоящего издания, которые читатель может оставить или в телеграм-чате <https://t.me/odesinsympy>, или прислать автору на электронную почту по адресу ershovnm@gmail.com.

ГЛАВА 1

Вращение жидкости

Задача • В сосуд, имеющий форму прямого кругового цилиндра, налита жидкость, например вода. Сосуд вращается с постоянной угловой скоростью ω относительно оси цилиндра (рис. 1). Требуется определить, какую форму примет поверхность жидкости, если вращение продолжается достаточно долго¹. При построении модели мы будем предполагать, что сосуд достаточно широкий и глубокий, это позволит преобречь разными поверхностными эффектами около боковых стенок сосуда.

Очевидно, что искомая поверхность должна быть поверхностью вращения. Поэтому для нахождения ее формы достаточно рассмотреть осевое сечение нашего сосуда и найти форму соответствующей *кривой*, из которой потом мы сможем сформировать и саму поверхность.

Введем в модель систему координат, как это показано на рис. 1. Ось Oy направим по оси цилиндра, ось Ox — перпендикулярно оси Oy вдоль основания цилиндра, начало координат, таким образом, оказывается в центре основания цилиндра.

Рассмотрим малый объем ν жидкости на ее поверхности (точка P на рис. 2). Пусть его масса равна m . На этот объем действуют две силы: сила тяжести $F = mg$ и сила реакции опоры N со стороны всей остальной жидкости. Сила тяжести, как обычно, действует вертикально вниз, а реакция опоры — по нормали к нашей искомой кривой, т. е. перпендикулярно касательной к этой кривой в точке P .

Обозначим угол наклона данной касательной к оси Ox через α и разложим силу N на горизонтальную N_x

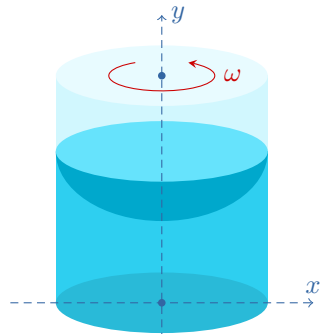


РИС. 1 Вращение сосуда с жидкостью

¹ «Достаточно долго» понимается здесь в том смысле, что вся жидкость в сосуде должна прийти в стационарное состояние относительно самого сосуда, т. е. каждый элементарный ее объем будет совершать только общее вращательное движение с заданной угловой скоростью ω .

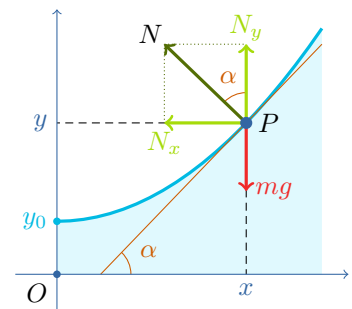


РИС. 2 Силы, действующие на малый объем жидкости ν массы m в точке $P(x, y)$

и вертикальную N_y составляющие (рис. 2):

$$N_x = N \sin \alpha, N_y = N \cos \alpha.$$

Запишем теперь 2-й закон Ньютона отдельно для каждой координаты. Вдоль вертикальной оси наш объем ν находится в состоянии равновесия, поэтому суммарная сила, действующая на него в вертикальном направлении, должна быть равна нулю:

$$N \cos \alpha - mg = 0. \quad (1)$$

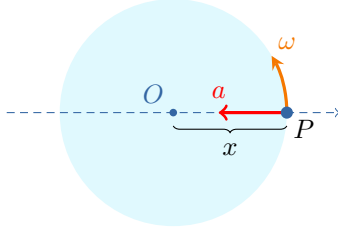


РИС. 3 Центростремительное ускорение для точки P (вид на сосуд сверху)

Единственная сила, действующая на объем ν вдоль горизонтального направления, — это проекция реакции опоры N_x . Так как данный объем совершает круговое движение с радиусом вращения x , то он испытывает центростремительное ускорение a , которое направлено горизонтально к оси вращения (рис. 3). Величина этого ускорения вычисляется по формуле (квадрат угловой скорости на радиус вращения):

$$a = \omega^2 x. \quad (2)$$

Таким образом, вдоль оси Ox второй закон Ньютона записывается в следующем виде:

$$-N \sin \alpha = -ma = -m\omega^2 x, \quad (3)$$

обе части взяты с отрицательным знаком, потому что и сила N_x , и ускорение a направлены против положительного направления оси Ox .

Запишем формулы (1) и (3) в виде системы двух уравнений:

$$\begin{aligned} Ox : N \sin \alpha &= m\omega^2 x, \\ Oy : N \cos \alpha &= mg. \end{aligned} \quad (4)$$

Поделим первое уравнение системы на второе:

$$\tan \alpha = \frac{\omega^2 x}{g}.$$

Теперь учтем тот факт, что согласно геометрическому смыслу производной функции $y(x)$ величина производной в точке x_0 равна тангенсу угла наклона касательной к соответствующей кривой $y(x)$ в данной точке x_0 . То есть мы можем заменить $\tan \alpha$ на y' , что и даст нам искомое дифференциальное уравнение:

$$y' = \frac{\omega^2 x}{g}. \quad (5)$$

Если дополнительно обозначить высоту жидкости в точке $x = 0$ (на оси вращения) через y_0 , то можно поставить для полученного дифференциального уравнения задачу Коши:

$$\begin{aligned} y' &= \frac{\omega^2 x}{g}, \\ y(0) &= y_0. \end{aligned} \tag{6}$$

Модель • Рассмотрим теперь процесс решения поставленной начальной задачи с помощью библиотеки **Sympy**. Сначала мы построим общее решение дифференциального уравнения (5), затем, используя начальное условие $y(0) = y_0$, решим начальную задачу (6). Следующим шагом определим параметр y_0 из условия постоянства объема вращаемой жидкости, рассмотрев при этом два случая — подкритический, когда поверхность вращаемой жидкости не касается дна цилиндра, и надкритический, когда такое касание происходит.

1 Построение модели начинаем с подключения библиотеки **Sympy** и функции **display**, определенной в модуле **IPython.display**.

```
1 from sympy import *
2 from IPython.display import display
```

2 С помощью команды **symbols** создаем символы x , g , ω , y_0 и C_1 , которые нам потребуются для задания и решения дифференциального уравнения. Аргументом этой команды является строка, содержащая вводимые символы и определяющая, как эти символы будут выглядеть при печати. Возвращает эта команда кортеж с объектами **Sympy**, которые нужно запомнить в соответствующих переменных для последующего использования. Так как параметр g , представляющий собой ускорение свободного падения, является всегда строго положительным, то при создании соответствующего символа укажем этот факт, используя optionalный аргумент **positive**². Используем команду **display**, чтобы посмотреть, как выглядят определенные нами символы. Например, видно, что **Sympy** корректно отображает греческие буквы, а цифры после символов преобразует в нижние индексы этих символов³.

```
1 x, omega, y0, C1 = symbols("x omega y0 C1")
2 g = symbols("g", positive = True)
3 display(x, g, omega, y0, C1)
```

2 Информация о положительности того или иного символа может быть использована библиотекой **Sympy** для упрощения формул, в которые входит этот символ, например, при извлечении квадратных корней.

3 Для краткости вывод команды **display** в данном случае мы поместили в одну строку, на самом деле эта команда выводит каждое из переданных ей выражений в отдельной строке.

x g ω y₀ C₁

3 Наше дифференциальное уравнение

$$y' = \frac{\omega^2 x}{g}$$

является простейшим, это значит, что оно решается непосредственным интегрированием его правой части. Следовательно, для решения этого уравнения с помощью библиотеки SymPy нам достаточно определить только его правую часть, а не все уравнение целиком⁴. Создадим переменную `ode_rhs`, в которую и запишем правую часть решаемого уравнения.

```
1 ode_rhs = omega ** 2 * x / g
2 display(ode_rhs)
```

$$\frac{\omega^2 x}{g}$$

4 Общее решение простейшего дифференциального уравнения $y' = f(x)$ — это неопределенный интеграл от правой части $f(x)$ этого уравнения. В библиотеке SymPy неопределенные интегралы вычисляются с помощью команды `integrate(f, x)`, где `f` — подынтегральное выражение, `x` — переменная интегрирования. Константа интегрирования C_1 при этом автоматически командой `integrate` к найденному интегралу не прибавляется, это надо делать вручную⁵, поэтому мы просто к результату работы функции `integrate` прибавим символ `C1`. Найденное *общее решение* дифференциального уравнения сохраним в переменной `dsol`.

```
1 dsol = integrate(ode_rhs, x) + C1
2 display(dsol)
```

$$C_1 + \frac{\omega^2 x^2}{2g}$$

5 Стандартный способ определения константы интегрирования C_1 в общем решении дифференциального уравнения из начального условия заключается в подстановке в это решение величин из начального условия, что приводит к алгебраическому уравнению для переменной C_1 . Решив это уравнение и подставив

найденное решение вместо C_1 обратно в формулу общего решения, мы найдем решение соответствующей начальной задачи для заданного дифференциального уравнения. В нашем случае начальное условие имеет вид $y(0) = y_0$, поэтому мы сначала подставляем в общее решение `dsol` вместо `x` значение `0`, это делается с помощью метода `subs(f, g)`, где `f` — выражение, которое мы хотим заменить на выражение `g`. Полученное в результате подстановки выражение приравниваем к величине `y0`, используя команду `Eq(lhs, rhs)`, которая создает равенство вида `lhs = rhs`⁶. Созданное уравнение запоминаем в переменной `eq1`.

```
1 eq1 = Eq(dsol.subs(x, 0), y0)
2 display(eq1)
```

$C_1 = y_0$

6 Следующим шагом решаем построенное уравнение с помощью команды `solveset(eq, x)`, где первый аргумент `eq` — это само уравнение, второй аргумент `x` — переменная, относительно которой данное уравнение должно решаться⁷. Найденное решение сохраним в переменной `sol1`.

```
1 sol1 = solveset(eq1, C1)
2 display(sol1)
```

$\{y_0\}$

7 Как мы видим, команда `solveset` выдает решения уравнения в виде множества, чтобы выбрать какое-то одно решение, нужно преобразовать это множество в кортеж (`tuple`) или список (`list`) и выбрать соответствующий элемент, указав его индекс. В нашем случае множество содержит всего одно решение, поэтому для его извлечения используем нулевой индекс. Запоминаем найденное значение в переменной `C2`.

```
1 C2 = tuple(sol1)[0]
2 display(C2)
```

y_0

8 Последним действием подставляем найденное значение `C2` вместо символа `C1` в общее решение `dsol`, что и дает нам искомое решение начальной задачи. Сохраним это решение в переменной `dsol_y0`.

```
1 dsol_y0 = dsol.subs(C1, C2)
2 display(dsol_y0)
```

6 Python не позволяет переопределить команду присваивания `=`, поэтому для создания уравнений приходится использовать специальную функцию `Eq`.

7 В рассматриваемом случае уравнение тривиально, но ровно такие же действия нужно будет выполнять и в более сложных случаях.

$$y_0 + \frac{\omega^2 x^2}{2g}$$

9 Как видно из последней формулы, найденная зависимость высоты y поверхности жидкости от расстояния до оси вращения x оказывается квадратичной, т. е. интегральные кривые (графики решений дифференциального уравнения) должны быть параболами⁸. Убедимся в этом, построив графики решения. Библиотека **SymPy** имеет несколько простых функций для построения графиков⁹, простейшей из которых является функция **plot**. Построим с помощью этой функции график найденного нами решения начальной задачи при следующих значениях входящих в это решение констант:

$$y_0 = 0, \omega = \pi/2, g = 9.8.$$

Чтобы сделать в некоторой формуле сразу несколько подстановок, можно создать из них словарь, ключами которого будут заменяемые символы или выражения, и подать этот словарь на вход методу **subs**.

```
1 ds = dsol_y0.subs({y0: 0, omega: pi/2, g: 9.8})
2 p1 = plot(ds)
```

Результат выполнения¹⁰ этого фрагмента кода показан на рис. 4.

10 Построим теперь графики семейства решений начальной задачи для различных значений угловой скорости $\omega \in [0, 2\pi]$ с шагом $\pi/10$. Для формирования списка значений переменной **omega** будем использовать функцию **arange** из библиотеки **NumPy**. Для построения нескольких кривых на одном графике нужно сначала создать пустой график и запомнить его в некоторой переменной, в нашем случае это будет переменная **p2**. Для каждой кривой следует создавать свой график (переменная **p**) и затем добавлять его к общему графику **p2** с помощью метода **extend**. По умолчанию любой создаваемый график в среде **Jupyter** сразу же визуализируется, чтобы избежать этого, нужно в команде **plot** использовать опцию **show = False**. Построенный график можно визуализировать с помощью вызова метода **show**.

```
1 from numpy import arange
2 p2 = plot(show = False)
3 for om in arange(0, 2 * pi, pi / 10):
```

8 Таким образом, искомая поверхность будет параболоидом вращения.

9 Являющихся, по сути, надстройкой над существенно более мощной графической библиотекой **Matplotlib**.

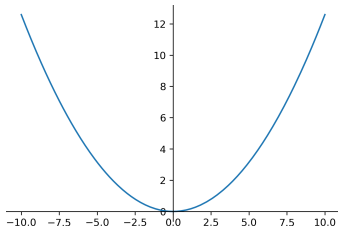


РИС. 4 График решения начальной задачи

10 Переменная **pi** является предопределенной константой в **SymPy**.

```

4     ds = dsol_y0.subs({y0: 0, omega: om, g: 9.8})
5     p = plot(ds, (x, -1, 1), show = False)
6     p2.extend(p)
7 p2.show()

```

Результат выполнения этого кода приведен на рис. 5.

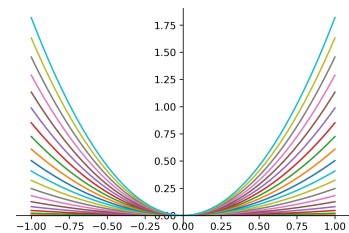


РИС. 5 График семейства решений начальной задачи для разных значений угловой скорости ω

11 При построении графиков решения выше мы произвольно задавали значение параметра y_0 равным нулю. Более естественный подход к определению этого параметра заключается в вычислении объема вращающейся жидкости и учтете очевидного условия, что этот объем является постоянной величиной, не зависящей от скорости вращения ω . Пусть объем жидкости равен V_0 . Чтобы выразить величину y_0 через V_0 , нам надо вычислить объем вращающейся жидкости, приравняв его к V_0 и решить полученное уравнение относительно y_0 . Заметим, что интересующий нас объем получается вращением участка кривой $y(x)$ на отрезке $[0, R]$ вокруг оси Oy , где R — радиус основания цилиндра (рис. 6). Следовательно, для его вычисления можно воспользоваться двойным интегралом в полярных координатах¹¹:

$$V = \int_0^{2\pi} \int_0^R f(r) r dr d\varphi.$$

Роль радиуса r в нашем случае играет переменная x , а функция $f(r)$ представлена решением начальной задачи $y(x)$, следовательно,

$$V = \int_0^{2\pi} \int_0^R y(x) x dx d\varphi.$$

Данный двойной интеграл можно упростить с учетом того, что подынтегральное выражение не зависит от полярного угла φ :

$$V = 2\pi \int_0^R y(x) x dx. \quad (7)$$

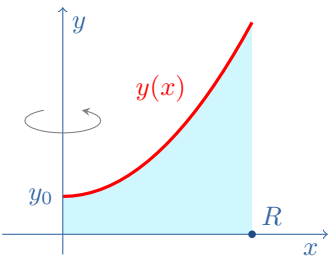


РИС. 6 Вычисление объема вращающейся жидкости

11 Наша поверхность является поверхностью вращения, поэтому функция $f(r)$ не зависит от полярного угла φ .

Введем два дополнительных символа для радиуса цилиндра и объема содержащейся в нем жидкости (оба параметра являются строго положительными величинами), вычислим определенный интеграл (7) и запомним результат в переменной **vol**. Определенные интегралы в библиотеке SymPy вычисляются с помощью той

же функции `integrate`, но вторым ее аргументом для этого нужно указать кортеж из трех элементов: переменная интегрирования, нижний и верхний пределы интегрирования.

```
1 V0, R = symbols("V0 R", positive = True)
2 vol = 2 * pi * integrate(dsol_y0 * x, (x, 0, R))
3 display(vol)
```

$$2\pi \left(\frac{R^4 \omega^2}{8g} + \frac{R^2 y_0}{2} \right)$$

12 Приравниваем найденный объем к `V0` и получаем уравнение относительно переменной `y0`.

```
1 eq2 = Eq(vol, V0)
2 display(eq2)
```

$$2\pi \left(\frac{R^4 \omega^2}{8g} + \frac{R^2 y_0}{2} \right) = V_0$$

13 Решаем полученное уравнение относительно `y0`.

```
1 sol2 = solveset(eq2, y0)
2 display(sol2)
```

$$\left\{ -\frac{\frac{R^4 \omega^2}{g} - \frac{4V_0}{\pi}}{4R^2} \right\}$$

14 Уравнение `eq2` линейное, поэтому решение у него единственное, для его извлечения используем нулевой индекс. Заодно упростим полученную формулу, используя команду `simplify`.

```
1 y1 = simplify(tuple(sol2)[0])
2 display(y1)
```

$$-\frac{R^2 \omega^2}{4g} + \frac{V_0}{\pi R^2}$$

15 Подставляем найденное выражение `y1` вместо символа `y0` в решение `dsol_y0` начальной задачи. Получаем еще одно выражение для решения этой же начальной задачи, но теперь выраженное через заданный объем жидкости `V0`.

```
1 dsol_V0 = dsol_y0.subs(y0, y1)
2 display(dsol_V0)
```

$$-\frac{R^2\omega^2}{4g} + \frac{\omega^2 x^2}{2g} + \frac{V_0}{\pi R^2}$$

16 Построим еще раз семейство интегральных кривых нашей задачи для разных значений скорости вращения ω для случая $V_0 = 2$ (рис. 7).

```

1 p3 = plot(show = False)
2 for om in arange(0, 2 * pi, pi / 10):
3     ds = dsol_V0.subs({V0:2, R:1, omega:om, g:9.8})
4     p = plot(ds, (x, -1, 1), show = False)
5     p3.extend(p)
6 p3.show()

```

17 Видно, что поведение интегральных кривых теперь стало более естественным — нижняя точка параболоида постепенно опускается при увеличении скорости вращения. Однако при достижении дна цилиндра ($y = 0$) это поведение становится нереалистичным — поверхность жидкости в некоторой области оказывается ниже дна цилиндра, а интегрирование по этой области дает отрицательный объем. То есть наши выкладки справедливы только при условии, что кривая $y(x)$ располагается строго над осью Ox . Найдем критическую скорость ω_0 , при которой нижняя точка поверхности жидкости (при $x = 0$) касается дна цилиндра. Для этого подставим в решение $x = 0$, приравняем его к нулю и решим полученное уравнение относительно скорости вращения ω .

```

1 eq3 = Eq(dsol_V0.subs(x, 0), 0)
2 sol3 = solveset(eq3, omega)
3 display(sol3)

```

$$\left\{ -\frac{2\sqrt{V_0}\sqrt{g}}{\sqrt{\pi}R^2}, \frac{2\sqrt{V_0}\sqrt{g}}{\sqrt{\pi}R^2} \right\}$$

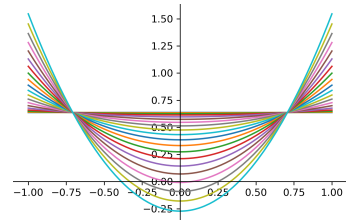


РИС. 7 График семейства решений начальной задачи для разных значений угловой скорости ω при фиксированном объеме V_0

18 Команда `solve` в данном случае выдает два решения, отличающихся только знаком (т. е. направлением вращения), выберем из них положительное (с индексом 1) и сохраним его в переменной `omega0`. Построим графики интегральных кривых для случая $\omega < \omega_0$ (рис. 8). Этот случай назовем *подкритическим*. Для удобства заранее создадим словарь `par` для выполнения дальнейших подстановок. Опции `xlim` и `ylim` команды `plot` определяют пределы изменения переменных по горизонтальной и вертикальной осям графика. Кривые рисуем синим цветом, используя опцию `line_color` команды `plot`.

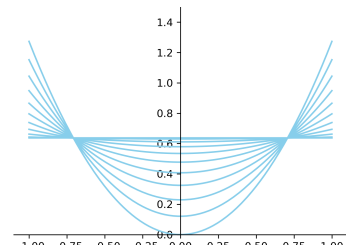


РИС. 8 График семейства решений начальной задачи в подкритическом случае

```

1 omega0 = tuple(sol3)[1]
2 display(omega0)
3 p4 = plot(ylim = (0, 1.5), show = False)
4 par = {V0: 2, omega: 0, R: 1, g: 9.8}
5 om0 = omega0.subs(par)
6 for om in arange(0, 1.1 * om0, 0.1 * om0):
7     par[omega] = om
8     ds = dsol_V0.subs(par)
9     p = plot(ds, (x, -1, 1), line_color = "skyblue",
10             show = False)
11     p4.extend(p)
12 p4.show()

```

$$\frac{2\sqrt{V_0}\sqrt{g}}{\sqrt{\pi}R^2}$$

19 Рассмотрим теперь по аналогичной схеме *надкритический* случай, когда скорость вращения превышает критическую, что приводит к образованию в центре dna цилиндра области, не покрытой жидкостью. Первым шагом найдем радиус x_0 этой области. Для этого приравняем решение `dsol_y0` к нулю и решим полученное уравнение относительно x .

```

1 eq4 = Eq(dsol_y0, 0)
2 sol4 = solveset(eq4, x)
3 display(sol4)

```

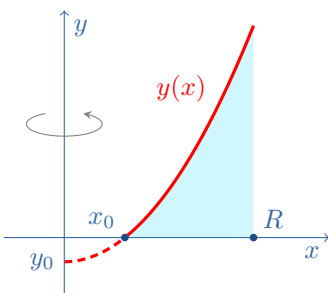


РИС. 9 Вычисление объема вращающейся жидкости в надкритическом случае

$$\left\{ -\frac{\sqrt{2}\sqrt{g}\sqrt{-y_0}}{\omega}, \frac{\sqrt{2}\sqrt{g}\sqrt{-y_0}}{\omega} \right\}$$

20 Из двух найденных решений выберем решение со знаком плюс. И еще раз вычислим объем, занимаемый жидкостью. Единственное отличие от предыдущего случая состоит в том, что интегрирование теперь выполняется от x_0 до R , т. е. часть ниже оси Ox мы не интегрируем (см. рис. 9):

$$V = 2\pi \int_{x_0}^R y(x) dx.$$

```

1 x0 = tuple(sol4)[0]
2 display(x0)
3 vol1 = 2 * pi * integrate(dsol_y0 * x, (x, x0, R))
4 display(vol1)

```

$$\frac{\sqrt{2}\sqrt{g}\sqrt{-y_0}}{\omega} \\ 2\pi \left(\frac{R^4\omega^2}{8g} + \frac{R^2y_0}{2} + \frac{gy_0^2}{2\omega^2} \right)$$

21 Приравниваем вычисленное выражение к V_0 и решаем полученное уравнение относительно y_0 .

```
1 eq5 = Eq(vol1, V0)
2 sol5 = solveset(eq5, y0)
3 display(sol5)
```

$$\left\{ -\frac{R^2\omega^2}{2g} - \frac{\sqrt{V_0}\omega}{\sqrt{\pi}\sqrt{g}}, -\frac{R^2\omega^2}{2g} + \frac{\sqrt{V_0}\omega}{\sqrt{\pi}\sqrt{g}} \right\}$$

22 Получили два возможных значения параметра y_0 . Проверим, какое из них оказывается равным нулю при подстановке вместо ω критического значения ω_0 .

```
1 for s in tuple(sol5):
2     display(s.subs(omega, omega0))
```

$$0 \\ -\frac{4V_0}{\pi R^2}$$

23 Выбираем решение с индексом 0 и подставляем его в решение начальной задачи `dsol_y0` вместо символа `y0`, что дает нам уравнение поверхности для надkritического случая.

```
1 y2 = tuple(sol5)[0]
2 dsol_sup = dsol_y0.subs(y0, y2)
3 display(dsol_sup)
```

$$-\frac{R^2\omega^2}{2g} + \frac{\sqrt{V_0}\omega}{\sqrt{\pi}\sqrt{g}} + \frac{\omega^2x^2}{2g}$$

24 По аналогичной схеме строим семейство кривых (красного цвета) найденного решения для скорости $\omega \in [1.2\omega_0, 3\omega_0]$ с шагом $0.2\omega_0$ (рис. 10).

```
1 p5 = plot(ylim = (0, 1.5), show = False)
2 for om in arange(1.2 * om0, 3 * om0, 0.2 * om0):
3     par[omega] = om
4     ds = dsol_sup.subs(par)
5     p = plot(ds, (x, -1, 1), line_color = "red",
6               show = False)
6     p5.extend(p)
7 p5.show()
```

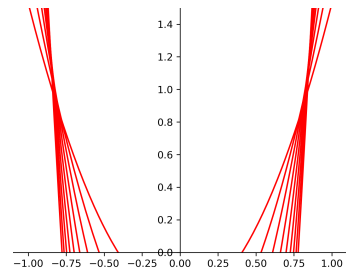


РИС. 10 График семейства решений начальной задачи в надkritическом случае

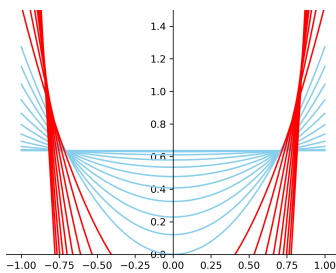


РИС. 11 График семейства решений начальной задачи в подкритическом (синие кривые) и надкритическом (красные кривые) случаях

ТАБЛ. 1 Стандартные математические функции в SymPy

Функция	SymPy
\sqrt{x}	<code>sqrt(x)</code>
e^x	<code>exp(x)</code>
$\ln x$	<code>log(x)</code>
$\sin x$	<code>sin(x)</code>
$\cos x$	<code>cos(x)</code>
$\operatorname{tg} x$	<code>tan(x)</code>
$\operatorname{ctg} x$	<code>cot(x)</code>
$\arcsin x$	<code>asin(x)</code>
$\arccos x$	<code>acos(x)</code>
$\operatorname{arctg} x$	<code>atan(x)</code>
$\operatorname{arcctg} x$	<code>acot(x)</code>

12 Библиотека SymPy частично поддерживает работу с символом бесконечности ∞ , который определен в ней под именем `oo`.

25 Наконец, объединим графики двух рассмотренных нами случаев: подкритического (переменная `p4`) и надкритического (переменная `p5`).

```

1 p6 = plot(ylim = (0, 1.5), show = False)
2 p6.extend(p4)
3 p6.extend(p5)
4 p6.show()

```

Итоговый график, включающий оба случая, показан на рис. 11.

УПРАЖНЕНИЯ И ЗАМЕЧАНИЯ

1 Решите с помощью SymPy следующие квадратные уравнения:

$$\begin{array}{ll} 1) \quad x^2 - 4x + 3 = 0; & 3) \quad 64x^2 + 16x + 1 = 0; \\ 2) \quad x^2 - 5x + 1 = 0; & 4) \quad 2x^2 - 3x + 2 = 0. \end{array}$$

2 Решите с помощью SymPy следующие кубические уравнения, выведите на экран найденные *положительные* корни:

$$\begin{array}{ll} 1) \quad x^3 - 3x^2 + 3x - 1 = 0; & 3) \quad x^3 - 2x^2 - 7x - 4 = 0; \\ 2) \quad x^3 - 7x + 6 = 0; & 4) \quad x^3 + 7x^2 + 14x + 8 = 0. \end{array}$$

3 Дифференцирование выражений в SymPy выполняется командой `diff(f, x)`, где `f` — выражение, `x` — переменная дифференцирования. Вычислите с помощью этой функции производные по `x` следующих выражений (см. табл. 1):

$$\begin{array}{ll} 1) \quad 5x^4 + x^2 - 4; & 3) \quad e^x \cdot \sqrt{4x + 2}; \\ 2) \quad ax^2 + bx + c; & 4) \quad \arccos(a^2 - x^2). \end{array}$$

4 Вычислите с помощью команды `integrate` следующие *неопределенные* интегралы:

$$\begin{array}{ll} 1) \quad \int (x^2 - 2x + 3) dx; & 3) \quad \int s e^s ds; \\ 2) \quad \int y \sin(y^2) dy; & 4) \quad \int e^{2t} \cos t dt. \end{array}$$

5 Вычислите с помощью команды `integrate` следующие *определенные* интегралы¹²:

$$\begin{array}{ll} 1) \quad \int_{-1}^1 (x^3 - 1) dx; & 3) \quad \int_0^{2\pi} \sin 2\varphi d\varphi; \\ 2) \quad \int_a^b \frac{y-1}{y+1} dy; & 4) \quad \int_1^\infty e^{-3t} dt. \end{array}$$

6 Найдите с помощью SymPy общее решение простейшего дифференциального уравнения и решите соответствующую начальную задачу:

- 1) $y' = \frac{1}{x}$, $y(1) = -1$;
- 2) $y' = 2 \cos^2 x$, $y(\pi) = 0$;
- 3) $y' = \frac{1+2x^2}{\sqrt{x}}$, $y(1) = -\frac{1}{5}$;
- 4) $y' = x \ln x$, $y(\sqrt{e}) = 1$.

Числовые дроби вида n/m с целыми n и m в SymPy задаются командой Rational(n, m).

7 Постройте семейство кривых решения начальной задачи dsol_y0 для значений параметра y_0 из интервала $[0, 2]$ с шагом 0.1 при фиксированной скорости вращения $\omega = 1$.

8 Постройте семейство кривых решения начальной задачи для разных значений ускорения свободного падения g , список этих значений сформируйте из величин ускорения свободного падения на поверхности различных космических тел Солнечной системы (Солнце, планеты, Луна).

9 Для подкритического случая найдите положение неподвижной точки x_1 , в которой пересекаются все интегральные кривые рассматриваемого дифференциального уравнения. Может ли эта точка находиться вне цилиндра?

10 Напишите функцию для построения графика решения начальной задачи, автоматически определяющую, к какому случаю относится решение при заданных значениях параметров V_0 , R , g и ω .

11 Постройте модель вращения жидкости в сосуде, имеющем форму параболоида вращения $y = kx^2$, $k > 0$.

12 Рассмотрите модель вращения жидкости в круговом цилиндре высоты H , который закрыт сверху крышкой, в предположении, что поверхность жидкости касается верхнего основания цилиндра при угловой скорости $\omega_1 < \omega_0$ (т. е. в подкритическом случае, см. рис. 12).

13 Рассмотрите случай вращения сосуда в форме тонкого прямоугольного параллелепипеда, толщина которого δ настолько мала, что искривлением поверхности вдоль соответствующей стороны можно пренебречь (рис. 13). Вращение сосуда выполняется вокруг оси, проходящей через его центр перпендикулярно основанию. Объем жидкости во вращающемся сосуде в данном случае вычисляется по

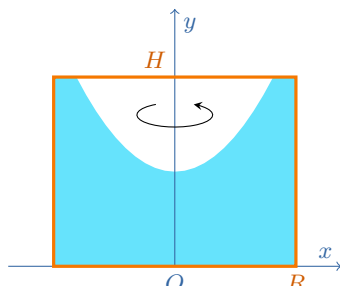


РИС. 12 Вращение жидкости в закрытом сверху цилиндре

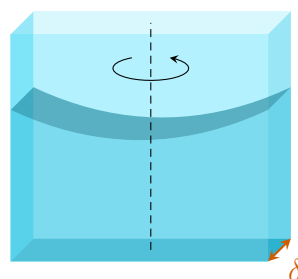


РИС. 13 Вращение тонкого параллелепипеда

более простой формуле:

$$V = 2\delta \int_0^R y(x)dx, \quad (8)$$

где R — половина длинной стороны основания параллелепипеда. Так как объем V постоянен и δ является константой, то постоянным должен быть интеграл в формуле (8). Найдите величину y_0 в предположении, что объем жидкости равен V_0 . Рассмотрите по аналогии с построенной нами моделью подкритический и надкритический случаи.

14 Исследуйте модель вращения жидкости в тонком прямоугольном параллелепипеде (см. предыдущее упражнение) для случая, когда ось вращения смещена относительно центра параллелепипеда (см. рис. 14).

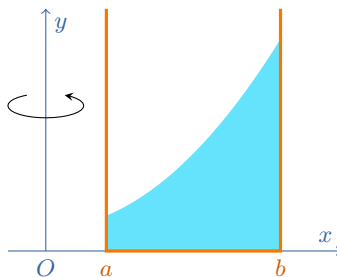


РИС. 14 Модель со смещенной осью вращения

ГЛАВА 2

Водяные часы

Задача • В 1641 году Торричелли сформулировал закон вытекания жидкости из отверстий в стенке открытого сосуда и вывел формулу для определения скорости этого вытекания, называемую сейчас формулой Торричелли. Этот закон утверждает, что скорость v истечения жидкости через тонкое отверстие, находящееся на глубине h от поверхности жидкости, такая же, как и у тела, *свободно* падающего с высоты h (рис. 1). Если начальная скорость падения равна нулю, то за время t тело пролетит расстояние $h = gt^2/2$ и приобретет скорость $v = gt$ (согласно формулам равноускоренного движения). Исключив из этих двух равенств время t , найдем, что скорость v тела связана с расстоянием h (высотой падения) следующей формулой:

$$v = \sqrt{2gh}. \quad (1)$$

Пусть у нас имеется сосуд, заполненный водой до высоты H , в нижней части которого сделано отверстие площади σ (рис. 2). Требуется определить закон, по которому изменяется со временем высота $h(t)$ воды в данном сосуде. Предполагается, что нам задана форма сосуда в виде зависимости площади S сечения сосуда от высоты h этого сечения.

Рассмотрим, как изменяется объем воды в сосуде за время от t до $t + \Delta t$. С одной стороны, за указанный промежуток времени Δt из сосуда вытечет объем воды, равный $\Delta V = v\sigma\Delta t$. Предполагается, что скорость истечения воды за данный промежуток времени практически не меняется, и согласно формуле Торричелли эта скорость равна $v = \sqrt{2gh}$. Следовательно, объем



Эванджелиста Торричелли

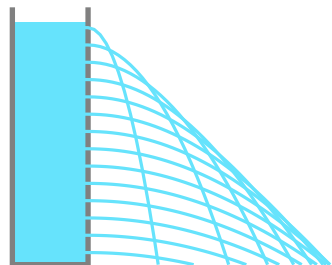


РИС. 1 Вытекание жидкости из сосуда с разных высот согласно формуле Торричелли (1)

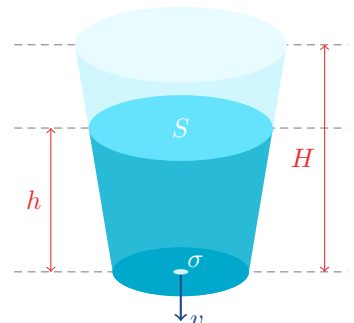


РИС. 2 Модель вытекания воды из сосуда

воды снизится на величину

$$\Delta V = \sigma \sqrt{2gh} \Delta t. \quad (2)$$

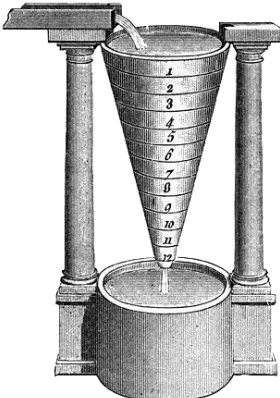


РИС. 3 Водяные часы

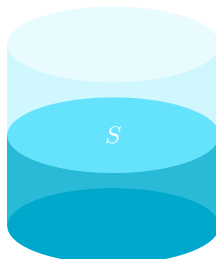


РИС. 4 Цилиндрический сосуд

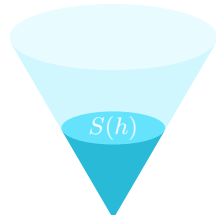


РИС. 5 Сосуд в форме конуса

С другой стороны, уровень воды за этот же промежуток времени снизится с h до $h + \Delta h$ (т. е. $\Delta h < 0$). Это значит, что ее объем уменьшится на величину

$$\Delta V = -S(h)\Delta h, \quad (3)$$

по аналогичным соображениям мы предполагаем, что площадь S за рассматриваемый промежуток времени также практически не меняется. Приравнивая величины (2) и (3) и выполняя предельный переход при $\Delta t \rightarrow 0$, приходим к дифференциальному уравнению следующего вида:

$$S(h)dh = -\sigma \sqrt{2gh}dt \Rightarrow S(h) \frac{dh}{dt} = -\sigma \sqrt{2gh}. \quad (4)$$

Решить в общем виде это уравнение мы, однако, пока не можем, т. к. процесс этого решения существенным образом зависит от вида функции $S(h)$. Если же нам эта функция задана, то, подставляя ее в уравнение (4), мы получим уже полностью определенное дифференциальное уравнение, которое можно решать тем или иным способом.

Решение $h(t)$ уравнения (4), если мы сможем его найти, позволит нам построить специальную шкалу, с помощью которой можно по текущему уровню воды определять время, прошедшее с момента открытия сливного отверстия. По сути, это превращает наш сосуд в широко применявшиеся (вплоть до XVII века) водяные часы, которые в Древней Греции были известны под названием *клепсидры* (рис. 3).

Модель • Процесс решения построенного дифференциального уравнения (4) с помощью SymPy рассмотрим на примере сосудов двух видов — в форме кругового цилиндра (рис. 4), когда площадь любого горизонтального сечения является постоянной, и в форме конуса (рис. 5), когда радиус поперечного сечения линейно убывает с высотой (т. е. площадь убывает с высотой квадратично).

1 Построение модели стандартно начинаем с подключения библиотек.

Конец ознакомительного фрагмента.
Приобрести книгу можно
в интернет-магазине
«Электронный универс»
e-Univers.ru